

# بررسی رفتار محدودکننده‌های شیب در گرادیان‌های هیدرولیکی شدید

مجتبی علی‌پرست<sup>i</sup>; مرتضی کلاهدوزان<sup>ii</sup>; محمد رضا مجذزاره طباطبایی<sup>iii</sup>

چکیده

نتایج حاصل از روش‌های مختلف عددی در گرادیان‌های هیدرولیکی شدید عمدتاً با نوساناتی همراه است. در این تحقیق برای جلوگیری از ایجاد نوسانات کاذب، بررسی رفتار یک طیف از محدودکننده‌های شیب در دو رژیم مانندگار و غیرمانندگار در نظر گرفته شده است. شناخت رفتار این طیف از محدودکننده‌ها در تدقیق نتایج حاصله از حل عددی مؤثر است. برای این منظور یک مدل دوبعدی در پلان به روش احجام محدود روی شبکه بی‌سازمان مثلثی به صورت مرکزیت سلول توسعه داده شده است. معادلات آب کم عمق بر اساس حل مسئله ریمان و براساس نوع انتشار موج روش "گودونوو" حل گردیده‌اند. برای محاسبه شار از روش "رو" و برای محاسبه گرادیان‌های سلولی از روش "منقطع سازی جهتی از کرانه بالا" استفاده شده است. مدل دارای دقت مرتبه دوم مکانی و زمانی است که دقت مرتبه دوم زمانی آن از اعمال روش رونکه - کوتا دو مرحله‌ای به دست آمده است. نتایج حاصل از مدل در دو مثال ناپیوستگی استاندارد در مسائل هیدرولیک (شکست سد و پرش هیدرولیکی) ارائه شده است. این نتایج نشان‌دهنده تطابق مناسبی بین مقادیر محاسباتی و تحلیلی است.

## کلمات کلیدی

روش احجام محدود، شبکه بی‌سازمان مثلثی، مسئله ریمان، روش "گودونوو"، محدودکننده‌های شیب، روش Roe-Upwind

## Study the Behavior of Slope Limiters in Intensive Hydraulic Gradients

M. Aliparast; M. Kolahdoozan; M. R. M. Tabatabai

### ABSTRACT

Results obtained from different numerical methods applying to intensive hydraulic gradients are associated with fluctuations. In current study, attempts have been made to eliminate non-physical oscillations by the use of slope limiters in both steady and unsteady flow conditions. A 2D, depth-integrated, free surface flow solver is developed on the cell centered unstructured triangular grids. The governing differential equations were discretized using Finite Volume Method. Shallow water equations were solved principally by Riemann problem and Godunov-type wave propagation formulation. The model has second order accuracy spatially and temporally. For the time derivatives, the two-step Runge-Kutta method was deployed. Results obtained from the developed model were verified against analytical approaches found in the literature for dam break and oblique hydraulic jump. A comparison of numerical and analytical results represents reasonable degree of similarity.

### KEYWORDS

<sup>i</sup> کارشناس ارشد مهندسی آب، دانشکده عمران و محیط زیست، دانشگاه صنعتی امیر کبیر

<sup>ii</sup> استادیار دانشکده عمران و محیط زیست، دانشگاه صنعتی امیر کبیر (نویسنده طرف مکاتبه mklhdzan@aut.ac.ir)

<sup>iii</sup> استادیار گروه مهندسی آب، دانشگاه صنعت آب و برق (وزارت نیرو)

## ۱- مقدمه

داده شدند. در روش‌های پیشرفته حجم محدود از نوع "گودونوو" برای دست یافتن به دقت مرتبه بالاتر و برای حفظ یکنواختی از محدودکننده‌های شار<sup>۱۰</sup> و یا شبیب<sup>۱۱</sup> در بازسازی اطلاعات روی هر سلول استفاده می‌شود. بازسازی خطی اطلاعات روی هر سلول بر اساس روش‌های یکنواخت "بالادست"<sup>۱۲</sup> برای معادلات بقا (MUSCL)<sup>۱۴</sup> که توسط "فن لیر"<sup>۱۵</sup> توسعه داده شدند، به روش‌های با دقت مرتبه دوم منجر می‌شود [۳]. در حالی که برای دستیابی به دقت مرتبه بالاتر از روش‌های بازسازی سهمی می‌باشد، برای دستیابی به دقت مرتبه دوم از روش‌های غیرنوسانی [۲۰ و ۲۴] می‌توان بهره برد [۱۹].

"ونگ"<sup>۱۶</sup> و "لیو"<sup>۱۷</sup> چهار روش حجم محدود Roe-MUSCL، Roe-Upwind، CFLF7 و HLL-MUSCL را روی شبکه‌های مثلثی با هم مقایسه کردند. نتایج حاصله از روش‌های فوق برای مدلسازی پرش هیدرولیکی مایل و شکست سد، نشان‌دهنده وجود نوسانات کاذب در جواب‌ها بود [۲۹]. براساس نتایج حاصل، روش Roe-Upwind از سایر روش‌هایی که در بالا ذکر شد نتایج دقیق‌تری داشت.

در این تحقیق از محدودکننده شبیب برای جلوگیری از ایجاد نوسانات کاذب استفاده شده است که عمدتاً بر روی پدیده‌های هیدرولیکی آزمایش می‌شود.

Roberts و Zoppou<sup>۱۸</sup> از ۲۰ روش عددی صریح برای شبیه‌سازی مسئله شکست سد استفاده کردند. اکثر روش‌ها برای جریان‌های زیر بحرانی نتایج معقولی داشتند. با وجود اینکه اعمال محدودکننده‌های شبیب بر پیچیدگی مسئله می‌افزاید، عمدتاً از روش‌های مرتبه اول دقیق‌تر هستند [۳۱].

با توجه به تنوع محدودکننده‌ها، در این تحقیق رفتار یک طیف از این محدودکننده‌ها در دو جریان ماندگار و غیرماندگار در مسائل آبی بررسی می‌شود تا با شناخت رفتار این طیف، نوع مناسب برای هر مسئله خاص مشخص شود.

## ۲- معادلات حاکم

در مسائلی که مقدار شتاب در جهت قائم ناچیز باشد و همچنین بتوان از اثر مؤلفه قائم سرعت در مقایسه با مؤلفه‌های افقی سرعت صرف نظر کرد، می‌توان توزیع فشار را هیدرواستاتیک فرض کرد و مسئله را به صورت دوبعدی در افق در نظر گرفت. در این حالت، معادلات آب کم عمق حاصل، یک دستگاه غیرخطی دوبعدی غیر ماندگار از نوع معادلات دیفرانسیل جزئی هذلولوی خواهد بود [۱۷].

معادلات آب کم عمق بدون در نظر گرفتن اثرات لزجت، شبیب کف و جملات اصطکاکی نیروی باد و نیروی کوریولیس،

روش‌های عددی معمول قادر به مدل‌سازی ناپیوستگی‌ها به هنگام حل معادلات دیفرانسیل جزئی نیستند. در روش‌های معمول حل معادلات دیفرانسیل جزئی، ابتدا نواحی اطراف ناپیوستگی مدل می‌شود و سپس با استفاده از روش‌های روندیابی ریاضی، محل این ناپیوستگی‌ها تعیین می‌گردد. استفاده از این روش‌ها که در طبقه روش‌های "روندیابی ناپیوستگی"<sup>۱۹</sup> قرار دارند، در مسایل دوبعدی و سه‌بعدی بسیار پیچیده و مشکل هستند. اخیراً با استفاده از روش‌های "تسخیر ناپیوستگی"<sup>۲۰</sup> برای حل معادلات دیفرانسیل جزئی، ناپیوستگی‌های موجود در جواب به صورت خودکار و بدون نیاز به استفاده از روش‌های روندیابی ریاضی مشخص می‌شوند.

بسیاری از مدل‌های هیدرودینامیکی برای مدل‌سازی معادلات آب کم عمق بر اساس روش تفاضل‌های محدود<sup>۲۱</sup> توسعه داده شده‌اند [۲، ۱۱ و ۱۶]. در روش تفاضل‌های محدود عدم تطابق خطوط مختصاتی با مرزهای قلمروی حل، به جواب‌های تقریبی منجر می‌شود. شبکه‌های "منطبق بر مرز"<sup>۲۲</sup> با تبعیت از مرزهای قلمروی حل، مشکل مذکور را بطرف می‌کنند. در این روش‌ها معادلات جریان از مختصات کارتزین به مختصات منحنی الخط تبدیل می‌شوند و سپس همانند روش‌های تفاضل‌های محدود، مسئله حل می‌شود [۵، ۷ و ۱۵]. حل مسائل مختصات منحنی الخط به دلیل تبدیل مختصات، با مشکلاتی همراه است. از طرف دیگر، وارد شدن مشتقات تبدیل مختصات باعث ایجاد خطأ می‌شود [۱۹]. استفاده از روش احجام محدود و انتگرال‌گیری قوانین بقا بر روی هر شبکه علاوه بر امکان استفاده از شبکه‌های نامنظم، استفاده از روش‌های حل با "دقت بالا"<sup>۲۳</sup> را نیز میسر می‌سازد [۹ و ۱۸].

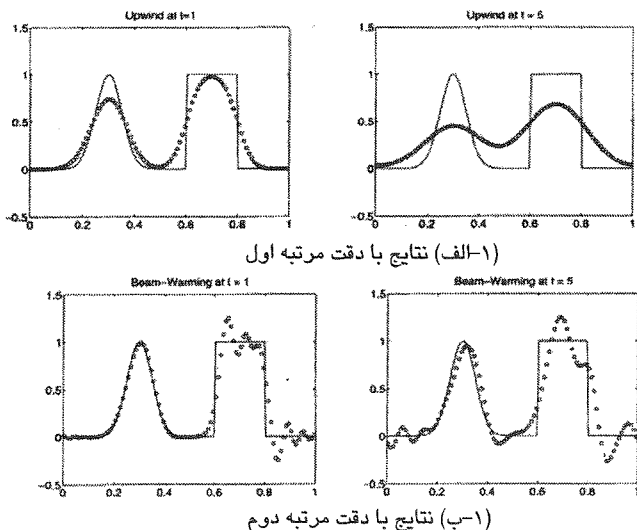
بنابراین با توجه به مشخصات روش احجام محدود و خصوصیت مسئله مورد مطالعه، استفاده از روش‌های احجام محدود با "دقت بالا" بر اساس حل مسئله ریمان انتخاب بسیار مناسبی است [۱۷].

منظور از روش "دقت بالا" ایجاد بهترین ترکیب میان روش‌های مرتبه اول و دوم است، به نحوی که از خصوصیات مطلوب هر دو روش استفاده شود. ایده اصلی روش‌های "دقت بالا"، که در اوایل دهه ۱۹۷۰ ارائه شده‌اند، از روش "گودونوو"<sup>۲۴</sup> سرچشم می‌گیرد [۱۲]. در دهه ۱۹۸۰ هارتن<sup>۲۵</sup>، فن لیر<sup>۲۶</sup> و دیگران [۲۱، ۲۲، ۲۳ و ۲۸] روش‌های کاراتری را توسعه دادند. پس از این روش‌ها، روش‌های حذف تغییرات کل<sup>۲۷</sup> توسعه

ولی این روش‌ها چون دارای خطای پخشیدگی<sup>۷</sup> زیادی در ناپیوستگی‌ها هستند، لذا در چنین شرایطی نوسانی می‌شوند. از طرف دیگر، روش‌های مرتبه اول به علت خصوصیت یکنواختی<sup>۸</sup>، در ناپیوستگی‌ها نوسانی نمی‌شوند ولیکن به لحاظ غالب بودن خطای هدردهی<sup>۹</sup>، بر طبق شکل (۱) جواب دارای دقت مناسبی نخواهد بود. شکل (۱-الف) دارای دقت مرتبه اول است و شکل (۱-ب) دقت مرتبه دوم را دارد.

ایده اصلی روش‌های "دقت بالا" عبارت است از بهترین ترکیب میان روش‌های مرتبه اول و دوم به نحوی که از خصوصیات مطلوب هر دو روش استفاده شود. تا جایی که جواب دارای رفتار همواری باشد از دقت مرتبه دوم استفاده می‌شود و در غیر این صورت ترکیبی از هر دو اعمال می‌شود [۱۷]. به منظور دست یابی به چنین خصوصیتی، در هر سلول محاسباتی از محدود کننده‌های شبیب برای محاسبه گرادیان‌های محاسبه شده استفاده می‌شود.

ایده به کارگیری محدود کننده‌ها در روش‌های با "دقت بالا" به اوایل دهه ۱۹۷۰ در روش هیبرید<sup>۱۰</sup> توسط هارتمن و زواس<sup>۱۱</sup> (۱۹۷۲) و در روش انتقال شاره تصحیح شده<sup>۱۲</sup> توسط بوریس<sup>۱۳</sup> و بروک<sup>۱۴</sup> (۱۹۷۳) برمی‌گردد [۸، ۱۴]. در این روش‌ها پس از محاسبه گرادیان‌ها، ضرایبی به آنها اعمال می‌شود (محدود کننده‌های شبیب) تا از ایجاد نوسانات کاذب در جواب‌ها جلوگیری شود. شکل (۲) اثر اعمال محدود کننده را در جواب نهایی برای یک مسئله خاص نشان می‌دهد. در اشکال (۱) و (۲) مقادیر نقطه‌چین حاصل از حل عددی است.



شکل (۱): روش‌های مرتبه اول و دوم بطور جداگانه

بر اساس متغیرهای پایستار به صورت روابط (۱) و (۲) می‌باشد [۲۶]:

$$\frac{\partial \mathbf{U}}{\partial t} + \frac{\partial \mathbf{F}}{\partial x} + \frac{\partial \mathbf{G}}{\partial y} = 0 \quad (1)$$

$$\mathbf{U} = \begin{pmatrix} h \\ hu \\ hv \end{pmatrix}, \quad \mathbf{F} = \begin{pmatrix} hu \\ hu^2 + gh^2/2 \\ huv \end{pmatrix}, \quad \mathbf{G} = \begin{pmatrix} hv \\ huv \\ hv^2 + gh^2/2 \end{pmatrix} \quad (2)$$

که در این معادلات  $h = \text{عمق آب}$ ,  $u = \text{مخلوقه‌های سرعت}$  به ترتیب در جهات  $x$  و  $y$  و  $g = \text{شتاب ثقل می‌باشد}$ .

### ۳- حل عددی معادلات

همان طور که قبلاً ذکر شد برای مدل‌سازی عددی مسائلی که ناپیوستگی‌های شدید دارند، روش احجام محدود با "دقت بالا" انتخاب بسیار مناسبی است [۱۷]. در روش احجام محدود از معادلات حاکم بر روی سلول محاسباتی انتگرال گرفته می‌شود. به همین منظور از سیستم دستگاه معادلات (۱)، بر روی سلول اختیاری  $\Delta$  انتگرال‌گیری می‌شود.

$$\int_{A_i} \frac{\partial \mathbf{U}}{\partial t} dA + \int_{A_i} \nabla \cdot \mathbf{E} dA = 0 \quad (3)$$

که  $(\mathbf{F}, \mathbf{G})$  و  $A_i = \text{مساحت حجم کنترل است}$ . در این حالت، شکل شبکه مطالعه شده محدودیت تدارد. در این تحقیق شکل المان‌ها، مثالی در نظر گرفته شده‌اند. با استفاده از قضیه دیورژانس، انتگرال روی سطح گرادیان شار عبوری از وجهه حجم کنترل در معادله (۳) با انتگرال خطی که منحنی بسته آن، محیط سلول مثالی به صورت رابطه (۴) جایگزین می‌شود:

$$\int_{A_i} \frac{\partial \mathbf{U}}{\partial t} dA + \oint_{L_i} \mathbf{E} \cdot \mathbf{n} dL = 0 \quad (4)$$

که  $L_i = \text{مرز حجم کنترل نام}$  و  $\mathbf{n} = \text{بردار واحد برون سوی عمود بر مرز است}$ . با استفاده از قضیه نقطه میانی، انتگرال خطی را می‌توان به صورت مجموع بردار شار روی هر ضلع سلول مثالی به صورت رابطه (۵) تقریب زد [۲۹]:

$$\frac{d\mathbf{U}_i}{dt} = -\frac{1}{A_i} \sum_{j=1}^3 \mathbf{E}^* \cdot \mathbf{n}_{ij} \Delta L_{ij} \quad (5)$$

که منظور از  $ij$ ، ضلع زام از سلول نام است و  $\Delta L_{ij} = \text{طول ضلع زام از سلول نام}$  و  $\mathbf{E}^*$  شار عددی مار از هر ضلع است که بر اساس روش‌های دقیق یا تقریبی حل مسئله ریمان محاسبه می‌شود.

### ۳-۱- روش‌های "دقت بالا"

روش‌های مرتبه دوم در نواحی هموار دقت خوبی دارند،

$$E^*((U_L)_{ij}, (U_R)_{ij}) =$$

$$\frac{1}{2} \left[ (E((U_L)_{ij}) + E((U_R)_{ij})) \cdot n - \left( \sum_{k=1}^3 \tilde{\alpha}^k |\tilde{a}^k| \tilde{e}^k \right)_{ij} \right]$$

که  $\tilde{\alpha}^k$ ، ضرایب تجزیه ناپیوستگی بر اساس شرط جهش رانکین-هوئیگت<sup>۲۳</sup> بین دو سلول مجاور هستند که به صورت رابطه (۸) بیان می‌شوند:

$$U_R - U_L = \sum \tilde{\alpha}^k \tilde{e}^k, \quad (8)$$

و مقادیر آنها به میزان ناپیوستگی‌های بین دو سلول  $(\Delta)_R - (\Delta)_L$  وابسته بوده و بر اساس روابط (۶) و (۱۰) به دست می‌آید:

$$\tilde{\alpha}^{1,3} = \frac{\Delta h}{2} \pm \frac{1}{2c} [\Delta(hu)n_x + \Delta(hv)n_y - (\tilde{u}, \tilde{v}) \cdot n \Delta h] \quad (9)$$

$$\tilde{\alpha}^2 = \frac{1}{c} \{ [\Delta(hv) - \tilde{v} \Delta h] n_x - [\Delta(hu) - \tilde{u} \Delta h] n_y \} \quad (10)$$

بدین ترتیب، شار عددی بر اساس تقریب "رو" قابل محاسبه است. سپس روش "مقطع‌سازی" جهتی از کرانه بالا برای بازسازی  $U_L$  و  $U_R$  به کار گرفته می‌شود. براساس روش "مقطع‌سازی" جهتی از کرانه بالا" مقدار تابع در هر نقطه به صورت رابطه (۱۱) با گرادیان سلول مرتبط می‌شود:

$$U(x, y) = U_i + \nabla U_i \cdot r \quad (11)$$

که در آن،  $r$  برداری از مرکز سلول به هر نقطه  $(y, x)$  در داخل سلول و  $\nabla U_i$  گرادیان مرکز سلول است. با استفاده از قضیه گوس و با انتگرال‌گیری روی منحنی بسته مرز سلول  $i$  این گرادیان‌ها به دست می‌آید [۲۹].

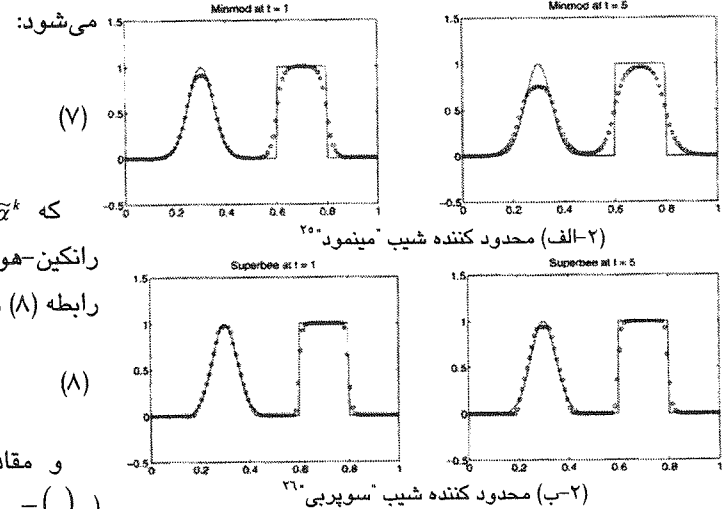
بر اساس پیشنهاد پن و چنگ<sup>۲۴</sup> (۱۹۹۳) برای تعیین دقیق‌تر گرادیان باید پس از محاسبه گرادیان مرکزی سلول‌ها، گرادیان هر سلول با استفاده از میانگین وزنی بر اساس رابطه (۱۲) اصلاح شود [۲۲]:

$$\nabla U_A^{\text{mod}} = \frac{1}{2} (\nabla U_A + w_B \nabla U_B + w_C \nabla U_C + w_D \nabla U_D) \quad (12)$$

که ضرایب آن از رابطه (۱۳) قابل محاسبه است:

$$\begin{aligned} w_B &= (\mathbf{r}_{AC} \times \mathbf{r}_{CD}) / (\mathbf{r}_{BC} \times \mathbf{r}_{CD}) \\ w_C &= (\mathbf{r}_{AD} \times \mathbf{r}_{DB}) / (\mathbf{r}_{BC} \times \mathbf{r}_{CD}) \\ w_D &= (\mathbf{r}_{AB} \times \mathbf{r}_{BC}) / (\mathbf{r}_{BC} \times \mathbf{r}_{CD}) \end{aligned} \quad (13)$$

در این رابطه،  $\nabla U_{B,C,D}$  گرادیان‌های مؤلفه‌های بردار  $U$  به ترتیب در سلول‌های  $B, C, D$  هستند که بر اساس قضیه گوس محاسبه می‌شود و بردارهای  $r$  بردارهای فاصله‌ای هستند که از مرکز سلول  $A$  به مرکز سلول‌های مجاور وصل



شکل (۲): اثر اعمال محدود کننده

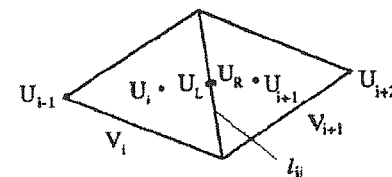
### ۳-۲-۳- محاسبه شار عددی عبوری از هر ضلع

در حل معادلات آب کم عمق به نحوه توزیع پارامترها روانه هر سلول یا همان گرادیان سلولی وهمچنین نحوه محاسبه شار باشیست توجه کرد. بر اساس این‌که از چه روشی برای محاسبه شار ( $E^*$ ) و محاسبه توزیع پارامترها بر روی هر سلول استفاده شود، روش‌های مختلف معرفی شده‌اند. تحقیقات ونگ و لیو (۲۰۰۰) بر روی روش‌های مختلف نشان دهنده آن است که روش Roe-Upwind دارای حداقل خطا در تخمین عمق و سرعت است [۲۹]. لذا در این تحقیق، از روش "رو" برای محاسبه شار عددی و از روش "مقطع‌سازی" جهتی از کرانه بالا<sup>۲۵</sup> برای بازسازی متغیرها استفاده شده است.

روش تقریبی "رو" حل ریمان به صورت معادله (۶) قابل بیان است [۲۹].

$$E^*((U_L)_{ij}, (U_R)_{ij}) = \frac{1}{2} [(E((U_R)_{ij}) + E((U_L)_{ij})) \cdot n - |\tilde{A}|((U_L)_{ij} - (U_R)_{ij})] \quad (6)$$

که در آن  $\tilde{A}$  = ماتریس ژاکوبین شار است که با استفاده از میانگین‌گیری "رو" [۲۳] محاسبه می‌شود،  $n$  = بردار واحد برون‌سوی عمود بر مرز المان و زیرنویس‌های  $R$  و  $L$  به ترتیب مقادیر پارامترها را در سلول مورد نظر و سلول مجاور نشان می‌دهند؛ شکل (۳).



شکل (۳): نحوه نامگذاری اندیس‌ها

نهایتاً پس از اعمال میانگین‌گیری "رو" رابطه (۷) نتیجه

روش عددی بررسی می‌شود.

### ۳-۳- انتگرال گیری زمانی

معادلات آب کم عمق در حالت دو بعدی یک دستگاه معادلات غیر خطی هذلولوی هستند. در معادلات غیرخطی، چنانچه ناپیوستگی در جواب وجود داشته باشد، این موج در حین انتقال تغییر شکل پیدا کرده و ممکن است به صورت یک مرج ضربه‌ای یا انبساطی و یا ترکیبی از هر دو حالت در جهت خطوط مشخصه و با سرعت مشخصه حرکت کند. البته در این حالت سرعت مشخصه نیز متغیر می‌باشد [۱۷]. بر این اساس برای گسته سازی زمانی از یک روش صریح<sup>۲۲</sup> استفاده می‌شود. لهذا وجود ناپیوستگی در یک نقطه در یک گام زمانی بر روی دیگر نقاط همان سطح اثر نمی‌گذارد؛ بلکه مدت زمانی لازم است که اثر آن به دیگر نقاط برسد.

بنابر آنچه ذکر شد و برای دستیابی به دقت مرتبه دوم زمانی، با استفاده از روش "رونگه - کوتا" طی دو مرحله متغیرها محاسبه می‌شوند. در گام نخست، بر اساس متغیرهای سطح زمانی  $t^n$ ، متغیرها در سطح زمانی میانی  $t^n + \Delta t/2$  محاسبه و سپس شار عددی با استفاده از مقادیر متغیرها در همین نیم‌گام زمانی محاسبه می‌شود. سایر پارامترها با استفاده از مقادیر متغیرها در گام زمانی  $t^n$  محاسبه می‌شوند.

در نهایت، معادلات حاکم بر پدیده به صورت رابطه (۱۹) بین می‌شوند:

$$\mathbf{U}_i^{n+1/2} = \mathbf{U}_i^n - \frac{\Delta t}{2A_i} \left( \sum_{j=1}^{NE} (\mathbf{F}, \mathbf{G})_j^* \cdot \mathbf{n} dL_j \right)^n + \frac{\Delta t}{2} \mathbf{S}_i^n \quad (19)$$

$$\mathbf{U}_i^n = \mathbf{U}_i^n - \frac{\Delta t}{A_i} \left( \sum_{j=1}^{NE} (\mathbf{F}, \mathbf{G})_j^* \cdot \mathbf{n} dL_j \right)^{n+1/2} + \Delta t \mathbf{S}_i^{n+1/2}$$

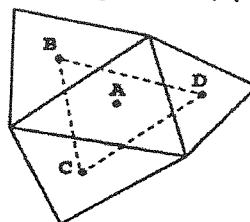
## ۴- ارزیابی مدل عددی

### ۴-۱- مدل سازی شکست سد

مسایل شکست سد از نوع جریان‌های غیرماندگار با تغیرات ناگهانی است که از آنها برای پایش حدنهایی پایداری عددی و کارآیی مدل استفاده می‌شود [۲۹]. به منظور بررسی برخی از قابلیت‌های مدل توسعه داده شده، در این تحقیق، از مسئله شکست سد؛ که محققین زیادی آن را مطالعه کرده‌اند [۴، ۱۰، ۱۹، ۲۷، ۲۹ و ۳۰]، و اثر اعمال یک طیف از محدود کننده‌ها بررسی می‌شود. دامنه حل مسئله در محیطی به ابعاد  $200\text{m} \times 200\text{m}$  است. عرض دهانه خروجی  $m$  ۷۵ است (شکل ۴۷)

می‌شوند (شکل (۴)). در این تحقیق اثر اعمال این میانگین‌گیری

وزنی در همگرایی جواب به طور کیفی بررسی شده است.



شکل (۴): مسیر BCD. مسیر انتگرال گیری برای محاسبه گرادیان سلولی

پس از محاسبه گرادیان‌های سلولی و تصحیح آنها با اعمال میانگین وزنی، برای جلوگیری از ایجاد نوسانات کاذب و پخشیدگی اطراف ناپیوستگی‌ها و همچنین تضمین حفظ یکنواختی جواب باید از توابع محدود کننده شبیب به صورت معادله (۱۴) استفاده شود [۲۹]:

$$U(x,y) = U_i + \varphi \nabla U_i \cdot \mathbf{r} \quad (14)$$

در این رابطه،  $\varphi$  محدودکننده شبیب اختیاری است و می‌تواند مقداری بین صفر تا یک داشته باشد. این روش در نهایت به یک روش دقت مرتبه دوم مکانی منجر می‌شود. اگر  $\varphi$  برابر صفر قرار داده شود در این صورت دقت روش مرتبه اول خواهد بود.

برای محاسبه  $\varphi$ ، بارس<sup>۲۳</sup> و یسپرسن<sup>۲۴</sup> (۱۹۸۹) تابع محدودکننده‌ای به صورت رابطه (۱۵) تعریف کردند [۶]:

$$\varphi = \min(\varphi_j), \quad j = 1, 2, 3 \quad (15)$$

در رابطه (۱۵)،  $\varphi_j$  عبارت است از:

$$\varphi_j(r_j) = \max[\min(\beta r_j, 1), \min(r_j, \beta)] \quad (16)$$

که:

$$r_j(Q_j) = \begin{cases} (Q_j^{\max} - Q_0)/(Q_j - Q_0) & \text{if } Q_j - Q_0 > 0 \\ (Q_j^{\min} - Q_0)/(Q_j - Q_0) & \text{if } Q_j - Q_0 < 0, \\ 1 & \text{if } Q_j - Q_0 = 0 \end{cases} \quad (17)$$

و

$$Q_0^{\min} = \min(Q_0, Q_{neighbour}) \quad (18)$$

$$Q_0^{\max} = \max(Q_0, Q_{neighbour})$$

در این روابط  $Q_j$  = مقدار محدود نشده متغیر در وسط ضلع سلول بر اساس اطلاعات سلول مجاور و  $Q_0$  = مقدار پارامتر در مرکز سلول هستند. در معادله (۱۶)،  $\beta \leq 1$  است. در حالت خاص اگر  $\beta = 1$  یا  $\beta = 2$  باشد، محدود کننده به ترتیب از نوع "مینمود" یا "سوپری" خواهد بود [۴]. در این تحقیق اثر تغییرات ضریب  $\beta$  در رفتار

شرایط اولیه و شرایط ورودی در این حالت عبارتند از:

$$h_0 = 1m, \quad u_0 = 8.57ms^{-1}, \quad v = 0$$

در مرز بالادست شرایط جریان ثابت و در مرز باز پایین دست شرط گرادیان صفر اعمال شده و برای دیوارهای کanal نیز شرایط لغزشی<sup>۲۰</sup> در نظر گرفته می‌شود. جریان ماندگار حاصل باید کاملاً فوق بحرانی بوده و بر اساس حل دقیق، با پرشی با زاویه  $\beta = 30^\circ$  نسبت به محور  $x$  دو ناحیه قبیل و بعد از پرش را از هم مجزا کند. جواب دقیق مسأله در پایین دست پرش برای مقادیر سرعت و سطح آب، به ترتیب عبارت است از:

$$[3] \quad h_2 = 1.5m, \quad |V_2| = 7.9556ms^{-1}$$

شکل (۱۳) پروفیل سطح آب را که از مدل توسعه داده شده به دست آمده است، نشان می‌دهد. در شکل (۱۴)، بر روی خط  $x = 25m$  رقوم سطح آب حاصل از اعمال سه محدودکننده با هم مقایسه شده‌اند. با توجه به تطابق بسیار زیاد محدودکننده‌ها، مشخص می‌شود که در جریان ماندگار تفاوتی بین محدودکننده‌های مختلف دیده نمی‌شود. در این حالت نمی‌توان هیچ یک از محدودکننده‌ها را بر دیگری برتری داد.

## ۵- نتیجه‌گیری

تحقیقات انجام شده در زمینه گرادیان‌های هیدرولیکی شدید نشان‌دهنده وجود نوسانات کاذب در نتایج بوده است. براین اساس، محققین مختلف برای حذف این نوسانات و افزایش دقت نتایج حاصل از مدل عددی سعی کردند. در روش‌های پیشرفتی احجام محدود برای دست یابی به دقت مرتبه بالاتر و برای حفظ یکنواختی، از محدودکننده‌های شار و یا شبی در بازسازی اطلاعات روی هر سلول استفاده می‌شود. در این تحقیق رفتار یک طیف از محدودکننده‌های شبی در حذف نوسانات و افزایش دقت نتایج بررسی شد. برای این منظور از یک مدل دوبعدی جریان با سطح آزاد بر روی شبکه بی‌سازمان مثلثی که به روش احجام محدود توسعه یافته است، استفاده شد. استفاده از شبکه‌های بی‌سازمان قابلیت افزایش تعداد شبکه‌ها در مناطق حساس محاسباتی را افزایش داده است که به نوعی خود باعث افزایش دقت و جلوگیری از تناپایداری برنامه در اینگونه مناطق می‌شوند. براین اساس، محدودکننده‌های شبی در نظر گرفته شده، در مسائل ماندگار و غیرماندگار استاندارد اعمال شدند.

نتایج حاصل از تحقیقات نمایانگر این است که اثر نوع محدودکننده‌ها عمدتاً به جریان‌های غیرماندگار مربوط است و در جریان‌های ماندگار تغییر محسوسی در جواب‌ها ایجاد نمی‌شود. در رژیم جریان غیرماندگار محدودکننده شبی

ارتفاع آب در بالا دست  $10m$  و در پایین دست  $5m$  است. در لحظه شکست، دهانه به طور ناگهانی باز می‌شود. در شکل (۵) شبکه‌بندی مورد استفاده، که با برنامه تولید شبکه حاصل شده است، نمایش داده شده است [۱].

شکل (۶) شرایط اولیه اجرای مدل را نشان می‌دهد. شکل (۷) نمایانگر رقوم سطح آب در زمان  $7/2$  ثانیه پس از شکست می‌باشد. در طول خط  $= 132.5m$ ، مقادیر عمق آب و سرعت در اثر اعمال محدودکننده‌های مختلف در زمان  $7/2$  ثانیه پس از شکست سد مقایسه شده‌اند. در شکل (۸) مقادیر سرعت و در شکل (۹) مقادیر عمق آب به ازای محدودکننده‌های مختلف  $\beta = 1.25, \beta = 1.25, \beta = 1.25, \beta = 1.25, \beta = 1$  و  $\beta = 2$  با یکی‌گر مقایسه شده‌اند. پیکان مشخص شده در نمودارها، بیانگر جهت افزایش ضریب  $\beta$  از ۱ تا ۲ است. با افزایش ضریب  $\beta$ ، گرادیان‌ها تندتر می‌شوند. ملائمترین و کمترین گرادیان مربوط به  $\beta = 1$  و شدیدترین گرادیان مربوط به  $\beta = 2$  است. به ازای  $\beta = 2$  نقطه اوج کمترین مقدار و به سمت  $\beta = 1$  بر مقدار نقطه حداکثر افزوده می‌شود (شکل (۸)).

با توجه به شکلهای (۸) و (۹) مشخص می‌شود که محدودکننده شبیب "سوپرپی" ( $\beta = 2$ ) گرادیان شدیدتر و محدودکننده شبیب "می‌نمود" ( $\beta = 1$ ) گرادیان ملائمتری محاسبه می‌کند و از طرف دیگر، به ازای محدودکننده شبیب "می‌نمود" نقطه اوج دارای مقدار بیشتری در مقایسه با اعمال محدودکننده شبیب "سوپرپی" است.

شکل (۱۰) پروفیل سطح آب و شکل (۱۱) سرعت‌های به دست آمده از مدل را در کنار نتایج حاصل از مدل "ونگ و لیو" (۲۰۰۰) نشان می‌دهد. مقایسه دو سری نتایج نشان‌دهنده تطابق مناسب آنها است.

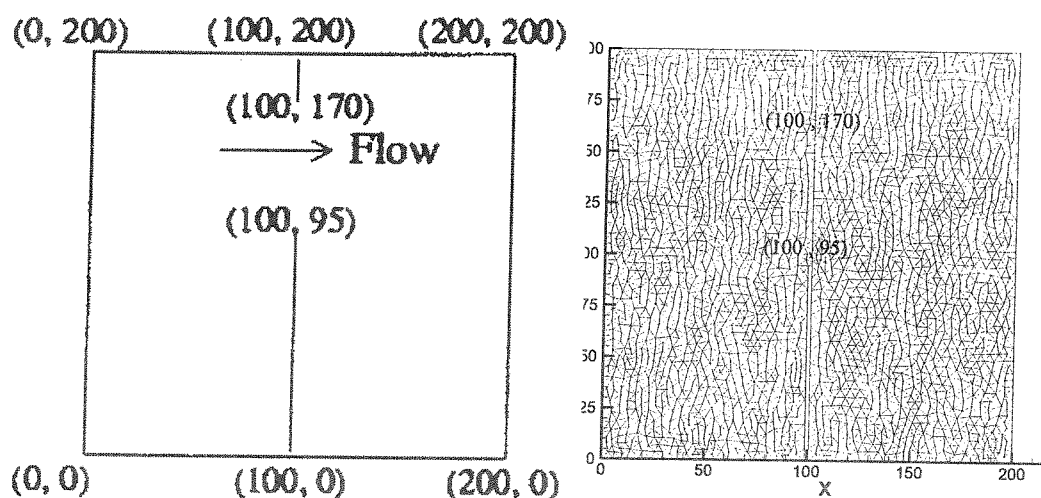
## ۴-۲- مدل‌سازی پرش هیدرولیکی مایل

با توجه به این که حل دقیق مسأله پرش هیدرولیکی مایل<sup>۲۱</sup> در ادبیات فنی موجود است، می‌توان از آن به عنوان یک مسأله استاندارد، برای نمایش صحت عملکرد مدل استفاده کرد. در این مسأله پرش هیدرولیکی در اثر برخورد جریان فوق بحرانی به دیواره منحرف کننده جریان، که با زاویه  $\alpha = 8.95^\circ$  نسبت به محور  $x$  در مقابل جریان قرار دارد، شکل می‌گیرد. پرش حاصل نیز با محور  $x$  زاویه  $\beta$  را می‌سازد. شکل (۱۲) نمایی از پلان مسأله و شبکه محاسباتی ایجاد شده را نشان می‌دهد. برای افزایش دقت در محل وقوع پرش، شبکه محاسباتی در این قسمت ریز شده است.

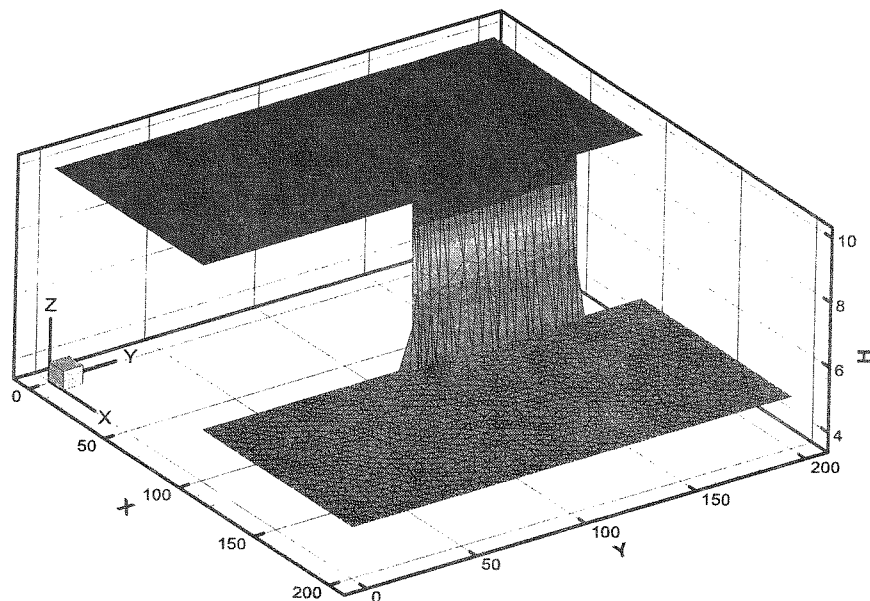
از محدودکننده‌های شبیب نه تنها باعث حذف نوسانات می‌شود، بلکه دقت نتایج را نیز افزایش می‌دهد. نتایج آنالیز حساسیت مدل عددی نشان‌دهنده این است که در نقطه ماکریزم، به ازای محدود کننده شبیب مینمود نقطه اوج دارای بیشترین مقدار و به ازای محدود کننده شبیب سوپربی نقطه اوج دارای کمترین مقدار در مقایسه با دیگر محدودکننده‌های است.

سوپربی ( $\beta = 2$ ) نسبت به سایر محدودکننده‌ها گرادیان بیشتری را نشان می‌دهد و با کم شدن ضریب  $\beta$  و تزدیک شدن شدن به محدودکننده شبیب مینمود ( $\beta = 1$ ) از مقدار گرادیان‌ها کاسته می‌شود.

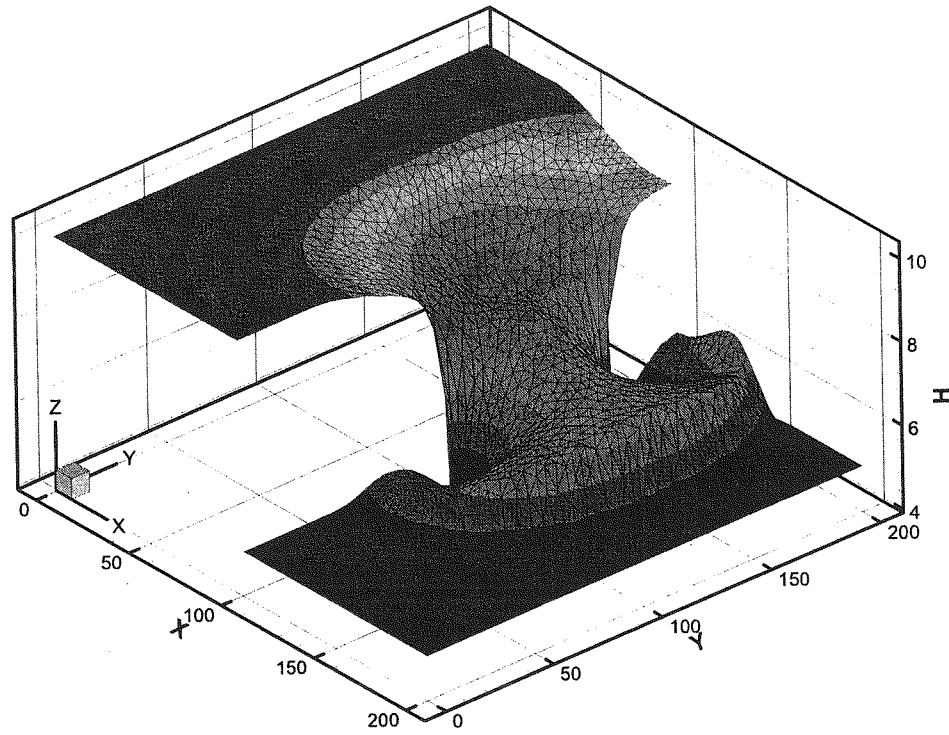
مقایسه نتایج حاصل از اعمال محدودکننده‌ها در هر دو نوع جریان ماندگار و غیرماندگار با نتایج حاصل از روش تحلیلی مسئله نمایانگر تطابق مناسب نتایج می‌باشد. در نتیجه استفاده



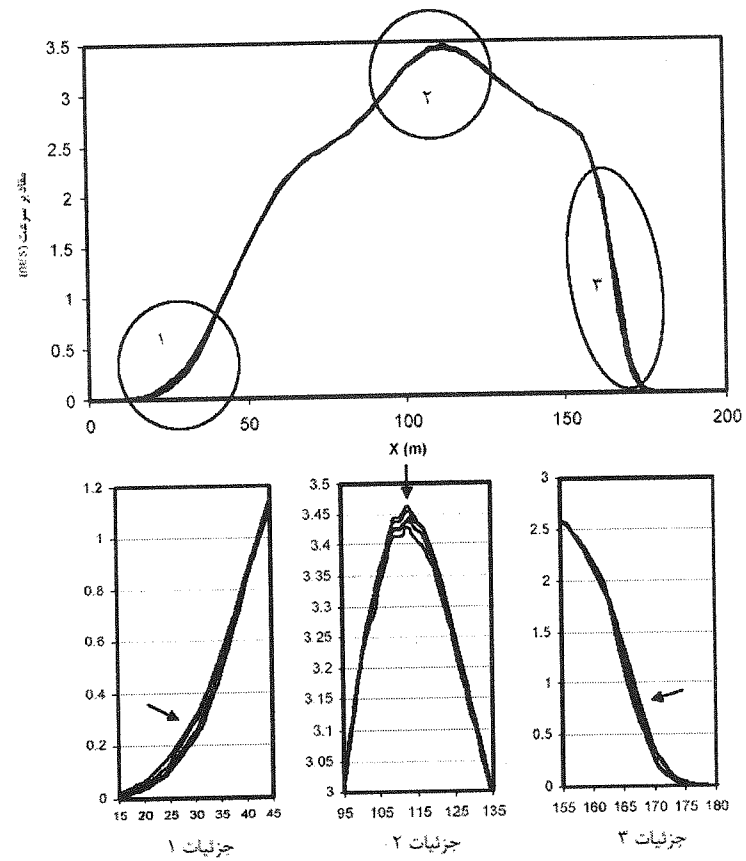
شکل (۵): نمایی از شبکه محاسباتی و پلان مسئله شکست سد



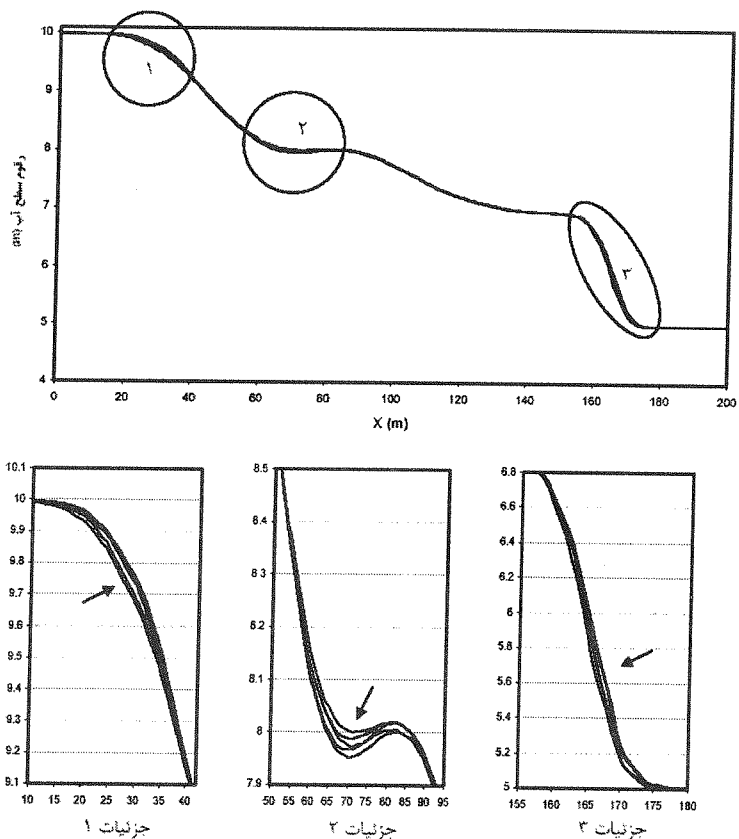
شکل (۶): رقوم سطح آب در لحظه اولیه شکست سد



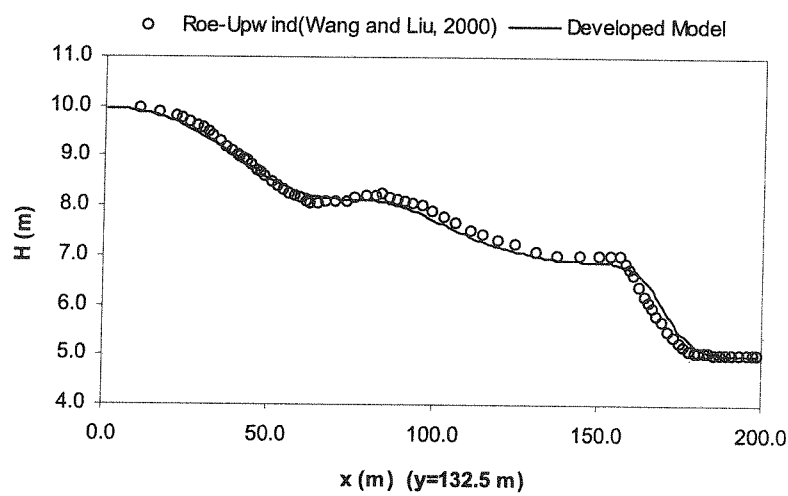
شکل (۷): رقوم سطح آب در  $7/2$  ثانیه پس از شکست سد



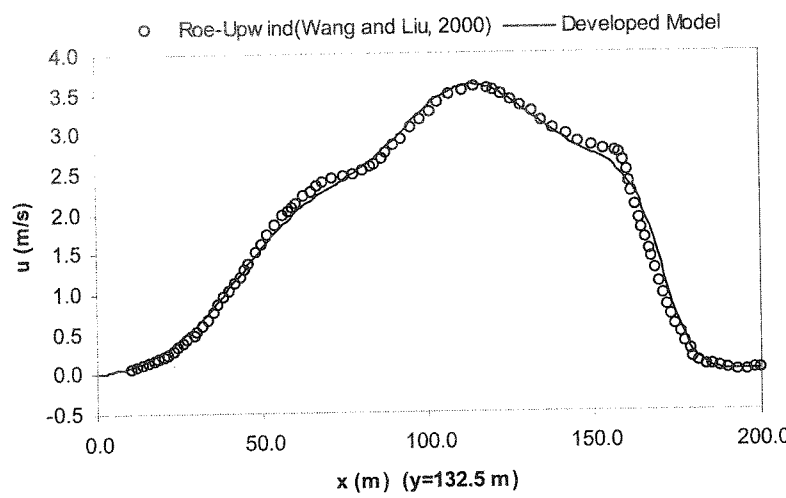
شکل (۸): مقایسه اثر محدودکننده های مختلف بر مقادیر سرعت ها روی خط  $y = 132.5 \text{ m}$  در مسئله شکست سد



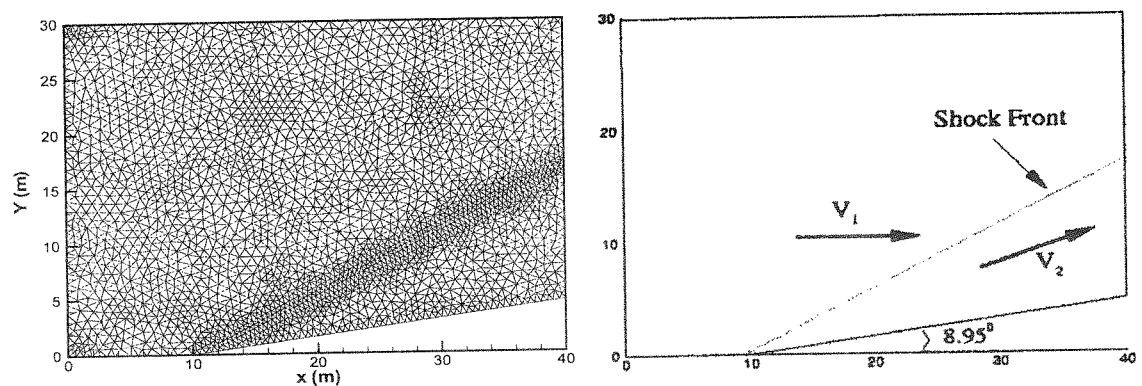
شکل (۹): مقایسه اثر محدودکننده‌های مختلف بر رقوم سطح آب روی خط  $y = 132.5 \text{ m}$  در مسأله شکست سد



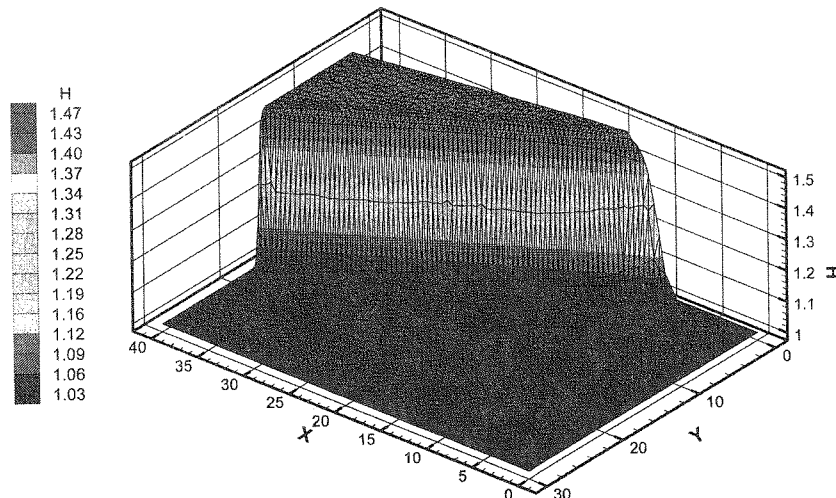
شکل (۱۰): مقایسه پروفیل سطح آب (آزمایش شکست سد)



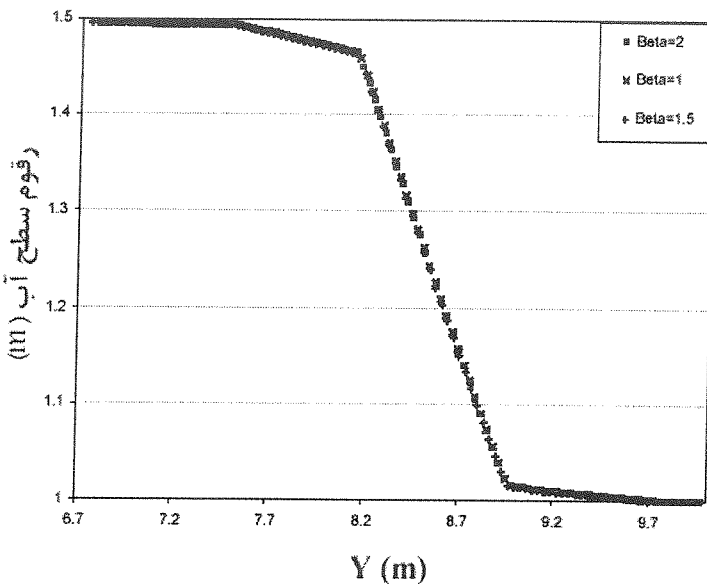
شکل (۱۱): مقایسه سرعت (آزمایش شکست سد)



شکل (۱۲): نمایی از پلان مسئله پرش هیدرولیکی مایل و شبکه محاسباتی مربوطه



شکل (۱۳): رقوم سطح آب در مسئله پرش هیدرولیکی مایل پس از ماندگار شدن



شکل (۱۴): مقایسه اثر محدودکننده‌های مختلف در مسئله پرش هیدرولیکی مایل

## مراجع

- [11] Falconer, R., "Numerical modeling of tidal circulation in harbors", *J. Wtrwy., Prot.Cost., and Oc. Div.*, ASCE, 106(1), 31-48 , 1980
- [12] Godunov, S., "A difference scheme for numerical computation of discontinuous solution of hydrodynamic equations", *Math. Sbornik*, 43 271-306, 1959
- [13] Harten, A., "High resolution schemes for hyperbolic conservation laws", *J. Computational Phys.*, 49, 357-393, 1983
- [14] Harten, A. and Zwas, G., "Self-adjusting hybrid schemes for shock computations", *J. Comput. Phys.*, 9(1972) , p. 568, 1972.
- [15] Hauser, J., Paap, H., Eppel, D. and Mueller, A., "Solution of the shallow water equations for complex flow domains via boundary-fitted coordinates", *Int. J. Numer. Methods in Fluids*, 5, 727-744, 1985
- [16] Leendertse, J., "Aspect of a computational model for long-period water wave propagation", Tech. Rep.. RN-5294 PR, Rand Corporation, 1967.
- [17] Leveque, R.J., "Finite volume methods for hyperbolic problems", Cambridge University Press, UK, 2002
- [18] Lohner, R., Morgan, K., Perier, J. and Vahdati, M., "Finite element flux-corrected transport (FEM-FCT) for Euler and Navier Stokes equations", *Int. J. Numer. Methods in Fluids*, 7, 1093-1109 1987
- [19] Mingham, C.G. and Causon, D.M., "High-resolution finite-volume method for shallow water flows", *Journal of Hydraulic Engineering*, 124(6), 605-614, 1998
- [20] Nujic, M., "Efficient implementation of non-oscillatory schemes for the computation of free surface flows", *J. Hydr. Res.*, 33(1) , 101-111, 1995
- [21] Osher, S. and Solomone, F., "Upwind difference schemes for hyperbolic systems of conservation laws", *Math. Comput.*, 38 1982 339-374, 1982
- [22] Pan, D. and Cheng, J., "A second-order upwind finite-volume method for the Euler solution on unstructured triangular meshes", *Int. j. numer. methods fluids*, 16 1079-1098 1993
- [23] Roe, P.L., "Approximate Riemann solvers, parameter vectors and difference schemes", *J. Computational Phys.*, 43 357-372, 1981
- [24] Savic, L. and Holly Jr.F., "Dambreak flood waves computed by a modified Godunov method", *J. Hydr. Res.*, Delft, The Netherlands, 31(2), 187-204, 1993
- [1] علیپرست، مجتبی، "مدل‌سازی فیزیکی و عددی جریان و انتقال رسوب در سدهای انحرافی؛ پایان‌نامه کارشناسی ارشد، دانشکده عمران و محیط زیست، دانشگاه صنعتی امیرکبیر، تهران. ۱۳۸۳
- [2] Abbot, M., Damsgaard, A. and Rodenhuis, G., "SYSTEM 2J 'Jupiter', (a design system for two dimensional nearly horizontal flows.)", *J. Hydr. Res.*, Delft, The Netherlands, 11, 1-28 1973.
- [3] Alcrudo, F. and Garcia-Navarro, P., "A high-resolution Godunov-type scheme in finite volumes for the 2D shallow-water equations", *Int. J. Numer. Methods Fluids*, 16 489-500, 1993.
- [4] Anastasiou, K. and Chan, C.T. "Solution of the 2D shallow water equations using the finite volume method on unstructured triangular meshes", *Int. J. Numer. Methods Fluids*, 24 1225-1245 1997.
- [5] Barber, R., "Solving the shallow water equations using a non-orthogonal curvilinear coordinate system", *Hydraulic and environmental modeling: Coastal waters*, R. Falconer, ed., Ashgate Publishing Co., Brookfield, Vt., 469-480, 1992
- [6] Barth, T.J., and Jespersen, D.C., "The design and application of upwind schemes on unstructured meshes", *AIAA Paper 89-0366* 1989.
- [7] Barthwick, A. and Barber, R., "River and reservoir flow modeling using the transformed shallow water equation", *Int. J. Numer. Methods in Fluids*, 14 1193-1217 1992.
- [8] Boris, J.P. and Book, D.L., "Flux-corrected transport. I. SHASTA, a fluid transport algorithm that works", *J. Comput. Phys.*, 11 38 1973
- [9] Causon, D., Clench, T. and Ingram, D., "The use of CFD techniques to investigate the physical nature of engine surge and its effect on a twin engine intake duct system", *Engine/Air-Frame Integration Conference*, Royal Aeronautical Society, London, U.K., 12.1-12.17, 1992.
- [10] Fagherazzi, S., Rasetariner, P., Hussaini, M.Y. and Furbish, D.J., "Numerical solution of the dam-break problem with a discontinuous Galerkin method", *Journal of Hydraulic Engineering*, 130(6), 532-539, 2004

- [25] Sewby, P.K., "High resolution schemes using flux limiters for hyperbolic conservation laws", *SIAM J. Numer. Anal.*, 24(5) , 995-1011 1984.
- [26] Toro, F.E., "Shock capturing methods for free-surface shallow flows", John Wiley & Sons, Chichester, England, 2001
- [27] Valiani, A., Caleffi, V. and Zanni, A., "Case study: Malpasset dam-break simulation using a two-dimensional finite volume method", *Journal of Hydraulic Engineering*, 128(5), 460-472, 2002
- [28] Van Leer, B., "Towards the ultimate conservative difference scheme. I. The quest of monotonicity", *Lecture Notes in Phys.*, 18 163-168, 1973.
- [29] Wang, J. W. and Liu, R. X., "A comparative study of finite volume methods on unstructured meshes for simulation of 2D shallow water wave problems", *Mathematics and Computers in Simulation*, 53 171-184, 2000
- [30] Zhao, D.H., Shen, H.W., Tabious III, G.Q., Lai, J.S. and Tan, W.Y., "Finite-volume two-dimensional unsteady flow model for river basins", *ASCE J. Hydraul. Eng.*, 120(7), 864-883, 1994
- [31] Zoppou, C., and Roberts, S., "Explicit schemes for dam-break simulations", *Journal of Hydraulic Engineering*, 129(1), 11-34 2003

- <sup>1</sup> Shock-tracking
- <sup>2</sup> Shock-capturing
- <sup>3</sup> Finite Difference Method
- <sup>4</sup> Boundary fitted
- <sup>5</sup> High Resolution
- <sup>6</sup> Godunov
- <sup>7</sup> Harten
- <sup>8</sup> Van Leer
- <sup>9</sup> Roe
- <sup>10</sup> Total Variation Diminishing (TVD)
- <sup>11</sup> Flux Limiter
- <sup>12</sup> Slope Limiter
- <sup>13</sup> Upstream
- <sup>14</sup> Monotonic Upstream Scheme for Conservation Laws
- <sup>15</sup> Wang
- <sup>16</sup> Liu
- <sup>17</sup> Diffusion
- <sup>18</sup> Monotonicity
- <sup>19</sup> Dissipation
- <sup>20</sup> Hybrid Method
- <sup>21</sup> Zwas
- <sup>22</sup> Flux Corrected Transport (FCT)
- <sup>23</sup> Boris
- <sup>24</sup> Brook
- <sup>25</sup> Minmod
- <sup>26</sup> Superbee
- <sup>27</sup> Upwind
- <sup>28</sup> Rankine-Hugoniot
- <sup>29</sup> Pan and Cheng
- <sup>30</sup> Barth
- <sup>31</sup> Jespersen
- <sup>32</sup> Explicit
- <sup>33</sup> Oblique Hydraulic Jump
- <sup>34</sup> Free-slip